

Errata

ずい分と沢山の誤りを訂正しなければなりませんので、まず、

誤りのリストを作ります。

- ① (626) 式の計算結果の符号が逆たため、原因を調べたところ、
遠因は、~~私が~~ 私が 20 年前に、 $-z$ 軸 (z 軸と反対) の向きの
ベクトルを極座標で $(\theta, \phi) = (\pi, 0)$ とし、たここに帰着する
ことに気がつきました。 $(\theta, \phi) = (\pi, \pi)$ とし、ておけばこのエラーは
避けられたはずなので、HELAS コードを含め、変更しようと思います。
- ② $g\bar{g} \rightarrow g\bar{g}$ の振幅 (507), (508b) と断面積 (510), (511), (583d), (584c)
に多くの誤りがありました。(507) での「書き移しミス」が伝播したものです。
- ③ $g\bar{g} \rightarrow g\bar{g}$ と $g\bar{g} \rightarrow g\bar{g}$ のカラー因子の計算 (p. 116 の最後の式, p. 130 (376))
で $\frac{1}{2}$ の誤りがあり、断面積 (380), (585b), (585c) を $\frac{1}{2}$ 倍します。
- ④ $q\bar{q} \rightarrow q\bar{q}$ の干渉項の符号 (409), (410), (412), (488), (583b), (583c),
(584b) は逆であり、 $u\bar{u} \rightarrow u\bar{u}$ 散乱の high P_T 分帯は干渉により 20%
程度小さくなります。これは、 u -channel 交換の振幅 (409) の符号が
誤っていたため、私が計算をせず「直観」で答えを書いて
しまったことによる誤りでした。何故「直観」が間違っていたかは
興味深い問題なので、検討してみます。

以上、③と④の誤りは馬渡健太郎さんが指摘してくれました。感謝します。私の講義は正しい結果を伝えることが目的ではなく(なるべくそうしようとは免れていますけれど)、QCDの方法、技術、考え方などを説明しようと思っております。私の誤りから学ぶことの方がより大切な"と思っておりますので、一つ一つ説明をします。上記②、③、④のエラーを修正した結果、全ての $2 \rightarrow 2$ 過程断面積が既知の結果

(627) R. Cutler, D. Sivers, PRD17, 196 (1978);
 B. L. Combridge, J. Kripfganz, J. Ranft, PL70B, 234 (1977);
 J. F. Owens, E. Reya, M. Glück, PRD18, 1501 (1978)

と一致しましたので、④の解説の後で、まことの式(583)-(585)を再掲します。 //

さて、①の符号(位相)の問題の原因は、出発点として便法(602)が z 軸の正の向きに e^- と負の向きに e^+ の衝突カレントであり、 z 軸の負の向きにスピンを $(\theta, \phi) = (\pi, 0)$ としたためでした。 $(\theta, \phi) = (\pi, \pi)$ としたのは

$$(628) \quad J_{\lambda, -\lambda}^{\mu} \equiv \bar{v}(k, -\lambda) \gamma^{\mu} u(p, \lambda) \quad p. 86 (231)$$

$$= -\sqrt{s} \chi_{\lambda}^{\dagger}(k) \sigma_{\lambda}^{\mu} \chi_{\lambda}(p) \quad p. 86 (233)$$

$$= \sqrt{s} (0, 1, \lambda i, 0) \quad p. 87 (236) \times (-1)$$

となり、一般の light-cone gauge の表式 (603)、(606) は

$$(629) \quad \epsilon^M(p, \lambda; \eta=k) = \frac{1}{2\sqrt{p \cdot k}} \bar{v}(k, -\lambda) \gamma^M u(p, \lambda) = -\frac{\sqrt{|p| |k|}}{\sqrt{p \cdot k}} \chi_\lambda^\dagger(k) \sigma_\lambda^M \chi_\lambda(p)$$

となります。結果、HELAS 条件 (625) は

$$(630) \quad \epsilon^M(p, \lambda)_{\text{HELAS}} = -\lambda \epsilon^M(p, \lambda; \eta=\tilde{p}) = \lambda \frac{1}{\sqrt{2}} \chi_\lambda^\dagger(-p) \sigma_\lambda^M \chi_\lambda(p)$$

$$p^M = (|p|, p)$$

$$\tilde{p}^M = (|p|, -p)$$

となり、 τ 符号の不一致は消滅します。実際、

$$(631) \quad \epsilon^M(p, \lambda)_{\text{HELAS}} = \frac{1}{\sqrt{2}} (0, -\lambda \cos\theta \cos\phi + i \sin\phi, -\lambda \cos\theta \sin\phi - i \cos\phi, \lambda \sin\theta)$$

$$= \frac{1}{\sqrt{2}} \left\{ -\lambda (0, \cos\theta \cos\phi, \cos\theta \sin\phi, -\sin\theta) \right.$$

$$\left. -i (0, -\sin\phi, \cos\phi, 0) \right\}$$

$$= \frac{1}{\sqrt{2}} (0, -\lambda, -i, 0) \quad \dots (\theta, \phi) = (0, 0)$$

$$= \frac{1}{\sqrt{2}} (0, -\lambda, i, 0) \quad \dots (\theta, \phi) = (\pi, \pi)$$

$\lambda \neq 0$ の場合、p. 65 の (142)、(145) を用いて

$$(632) \quad \left\{ \begin{array}{l} \chi_+(p) = \begin{pmatrix} \cos \frac{\theta}{2} \\ \sin \frac{\theta}{2} e^{i\phi} \end{pmatrix} \left\{ \begin{array}{l} = \begin{pmatrix} 1 \\ 0 \end{pmatrix} \quad \dots (\theta, \phi) = (0, 0) \\ = \begin{pmatrix} 0 \\ -1 \end{pmatrix} \quad \dots (\theta, \phi) = (\pi, \pi) \end{array} \right. \\ \chi_-(p) = \begin{pmatrix} -\sin \frac{\theta}{2} e^{-i\phi} \\ \cos \frac{\theta}{2} \end{pmatrix} \left\{ \begin{array}{l} = \begin{pmatrix} 0 \\ 1 \end{pmatrix} \quad \dots (\theta, \phi) = (0, 0) \\ = \begin{pmatrix} 1 \\ 0 \end{pmatrix} \quad \dots (\theta, \phi) = (\pi, \pi) \end{array} \right. \end{array} \right.$$

次に②の $g\bar{g} \rightarrow g\bar{g}$ のエラーは、p. 167 (507) で $(\sqrt{k_2 \cdot k_4})$ を $(\sqrt{k_1 \cdot k_4})$ と書き物まちがいでほったことに起因します。5.5. とて「も気をこけては気がつかはずのエラーです。結果、(507)の才三式では $\frac{1}{1+\cos\theta} \rightarrow \frac{1}{1-\cos\theta}$ と直し、才四式と(508b) ~~冊~~ は、全く違っています。そこで(508)全体を書き直します。

$$(633a) \quad \hat{M}_{\lambda\lambda_2}^{\text{I}\lambda_2} = 2g^2 \cos\frac{\theta}{2} \left\{ \delta_{\lambda\lambda_2} \left[\frac{2}{1-\cos\theta} + \frac{2}{1+\cos\theta} \right] + \delta_{\lambda,-\lambda_2} \left[\frac{2}{1-\cos\theta} \right] \right\}$$

$$(633b) \quad \hat{M}_{\lambda\lambda_2}^{\text{II}\lambda_2} = 2g^2 \cos\frac{\theta}{2} \left\{ \delta_{\lambda\lambda_2} \left[-\frac{2}{1-\cos\theta} \right] + \delta_{\lambda,-\lambda_2} \left[-\frac{2}{1-\cos\theta} + 1 \right] \right\}$$

$$(633c) \quad \hat{M}_{\lambda\lambda_2}^{\text{II}-\lambda_2} = \hat{M}_{\lambda\lambda_2}^{\text{I}-\lambda_2} = 0$$

従、(510)と(511)は次の様になり、(583d)は(634)''に(584c)は(634)'''に変更。

$$(634) \quad \frac{d\sigma}{d\cos\theta} = \frac{4\pi d_s^2}{s} \left\{ \frac{T_F^2(N^2-1)}{N^2} \left[\frac{4}{(1-c)^2} - \frac{2}{1-c} + \frac{1}{2} \frac{1}{1+c} + \frac{5+c}{8} \right] + \left(-\frac{T_F^2}{N^2} \right) \left[-\frac{4}{(1-c)^2} + \frac{2}{1-c} - \frac{1}{2} \right] \right\}$$

$$(634)' \quad = \frac{4\pi d_s^2}{s} \left\{ \frac{2}{9} \left[\frac{4}{(1-c)^2} - \frac{2}{1-c} + \frac{1}{2} \frac{1}{1+c} + \frac{5+c}{8} \right] + \left(-\frac{1}{36} \right) \left[-\frac{4}{(1-c)^2} + \frac{2}{1-c} - \frac{1}{2} \right] \right\}$$

$$(634)'' \quad = \frac{4\pi d_s^2}{s} \cdot \frac{2}{9} \cdot \left[\frac{9}{2} \frac{1}{(1-c)^2} - \frac{9}{4} \frac{1}{1-c} + \frac{1}{2} \frac{1}{1+c} + \frac{11+2c}{16} \right]$$

$$(634)''' \quad \xrightarrow{c \rightarrow 1} \frac{4\pi d_s^2}{s} \cdot \frac{2}{9} \cdot \left[\frac{9}{2} \frac{1}{(1-c)^2} - \frac{9}{4} \frac{1}{1-c} + \frac{17}{16} \right]$$

$$(634)'''' \quad \xrightarrow{c \rightarrow 0} \frac{4\pi d_s^2}{s} \cdot \frac{2}{9} \cdot \left[\frac{55}{16} \right]$$

//

③のエラー (gg → g \bar{g} , g \bar{g} → gg のカラー-因子) も単に $\frac{1}{2}$ の書き忘れていた。

p.116 の最後の式で、下々3 2行目の $|A|^2$ と $|B|^2$ の係数がそれぞれ $\frac{1}{2}$ 倍で、

最後の式 と p.132 (380) は次の通りです。

$$(635) \sum_{\text{color spin}} \sum_{\lambda_k} |M_{ij}^{ab}(\lambda_k)|^2 = \frac{7}{3} \sum_{\lambda_k} |A_{\lambda_1 \lambda_2}^{\lambda_3 \lambda_4}|^2 + 3 \sum_{\lambda_k} |\hat{A}_{\lambda_1 \lambda_2}^{\lambda_3 \lambda_4}|^2 \\ + 8 \sum_{\lambda_k} \text{Re} [(\hat{L}_{\lambda_1 \lambda_2}^{\lambda_3 \lambda_4})(\hat{M}_{\lambda_1 \lambda_2}^{\lambda_3 \lambda_4})^*] + 24 \sum_{\lambda_k} |\hat{L}_{\lambda_1 \lambda_2}^{\lambda_3 \lambda_4}|^2$$

その結果、(585b) と (585c) は $\frac{1}{2}$ 倍となり、更に、 $25+c^2$ は $25+9c^2$ の

誤りです。正しい表式は、次のエラーの解析の後で整理します。 //

④のエラー (gg → gg の干渉項の符号) は、p.139 (409) で、カレントを

実際に計算せず、(409) 式を書き下しては、たこことが原因でした。

カレントを計算すると、

$$(636a) J_{\lambda}^{\mu}(k_1, k_4) = 2E \left(\sin \frac{\theta}{2}, -\omega \frac{\theta}{2}, -\lambda i \omega \frac{\theta}{2}, \sin \frac{\theta}{2} \right)$$

$$(636b) J_{\lambda'}^{\mu}(k_1, k_3) = 2E \left(\sin \frac{\theta}{2}, \omega \frac{\theta}{2}, -\lambda' i \omega \frac{\theta}{2}, -\sin \frac{\theta}{2} \right)$$

となり、(409) の符号が逆転します。

$$(637) \hat{M}_{\lambda \lambda'}^{(u)} \equiv \frac{g^2}{4} J_{\lambda}(k_1, k_4) \cdot J_{\lambda'}(k_2, k_3) = g^2 \left(\frac{5}{4} \right) \cdot \begin{cases} 2 & \dots \lambda_1 = \lambda_2 \\ & = \lambda_3 = \lambda_4 \\ 1 - \omega \theta & \dots \lambda_1 = -\lambda_2 \\ & = \lambda_3 = -\lambda_4 \end{cases}$$

この結果、(410)、(412)、(488)、(583b)、(583c)、(584b)の干渉項の符号が逆転します [(583b)では $\frac{1}{3} \rightarrow \frac{2}{3}$ 、(583c)では $\frac{2}{3} \rightarrow \frac{4}{3}$ です]。正しい表式は、少(後で他の $2 \rightarrow 2$ 過程と一緒にリストします。

ここでは何故、私が(409)式の計算をせずに、誤った符号の式を書いてしまったか、という点について反省をしたいと思います。私の直観は、「同種フェルミオンの波動関数は反対称」 \Rightarrow たか「干渉項は相殺」というものでした。どうして逆になりましたのでしょうか？

電子・電子散乱の計算をていねいにやり直してみようと思います。

$$(638) \quad \begin{array}{c} e(k_3, \lambda_3) \uparrow \\ | \\ e(k_1, \lambda_1) \uparrow \end{array} \begin{array}{c} \text{---} \\ | \\ \text{---} \\ | \\ e(k_2, \lambda_2) \uparrow \end{array} \begin{array}{c} e(k_4, \lambda_4) \uparrow \\ | \\ e(k_2, \lambda_2) \uparrow \end{array} \quad - \quad \begin{array}{c} e(k_3, \lambda_3) \uparrow \\ | \\ e(k_1, \lambda_1) \uparrow \end{array} \begin{array}{c} \text{---} \\ | \\ \text{---} \\ | \\ e(k_2, \lambda_2) \uparrow \end{array} \begin{array}{c} e(k_4, \lambda_4) \uparrow \\ | \\ e(k_2, \lambda_2) \uparrow \end{array}$$

$\lambda_1 = \lambda_2 = \lambda_3 = \lambda_4$ の場合を考えます。4-momenta は

$$(639) \quad \begin{aligned} k_1^M &= E(1, 0, 0, \beta) \\ k_2^M &= E(1, 0, 0, -\beta) \\ k_3^M &= E(1, \beta \sin \theta \cos \phi, \beta \sin \theta \sin \phi, \beta \cos \theta) \\ k_4^M &= E(1, -\beta \sin \theta \cos \phi, -\beta \sin \theta \sin \phi, -\beta \cos \theta) \end{aligned}$$

ととり、非相対論的($\beta \rightarrow 0$)及び相対論的($\beta \rightarrow 1$)極限かとれるようにします。 $(\theta, \phi) \leftrightarrow (\pi - \theta, \pi + \phi)$ の交換が明らかになるように。

ϕ を有限にとります。振幅は(394)と同様

$$\begin{aligned}
 (640) \quad M_{\lambda_1 \lambda_2}^{\lambda_3 \lambda_4} &= \frac{e^2}{t} \bar{u}(k_3, \lambda_3) \gamma^\mu u(k_1, \lambda_1) \bar{u}(k_4, \lambda_4) \gamma_\mu u(k_2, \lambda_2) \\
 &\quad - \frac{e^2}{u} \bar{u}(k_4, \lambda_4) \gamma^\mu u(k_1, \lambda_1) \bar{u}(k_3, \lambda_3) \gamma_\mu u(k_2, \lambda_2) \\
 &\equiv \frac{e^2}{t} J_{31}^\mu J_{42\mu} - \frac{e^2}{u} J_{41}^\mu J_{32\mu}
 \end{aligned}$$

となりませす。 $\lambda_1 \lambda_2 = \lambda_3 = \lambda_4 = \lambda \stackrel{=+1}{\text{のとき}}$

$$\begin{aligned}
 (641) \quad J_{31}^\mu &= \bar{u}(k_3, +) \gamma^\mu u(k_1, +) \\
 &= E(1+\beta) \chi_+(k_3)^\dagger \sigma_+^\mu \chi_+(k_1) + E(1-\beta) \chi_+(k_3)^\dagger \sigma_-^\mu \chi_+(k_1) \\
 &= 2E (\cos \frac{\theta}{2}, \sin \frac{\theta}{2} e^{-i\phi}) [1, \beta \vec{\sigma}] \begin{pmatrix} 1 \\ 0 \end{pmatrix} \\
 &= 2E (\cos \frac{\theta}{2}, \sin \frac{\theta}{2} e^{-i\phi}) \left[\begin{pmatrix} 1 \\ 0 \end{pmatrix}, \beta \begin{pmatrix} 0 \\ 1 \end{pmatrix}, \beta \begin{pmatrix} 0 \\ i \end{pmatrix}, \beta \begin{pmatrix} 0 \\ 0 \end{pmatrix} \right] \\
 &= 2E (\cos \frac{\theta}{2}, \beta \sin \frac{\theta}{2} e^{-i\phi}, i\beta \sin \frac{\theta}{2} e^{-i\phi}, \beta \cos \frac{\theta}{2})
 \end{aligned}$$

$$\begin{aligned}
 (641)' \quad J_{42}^\mu &= \bar{u}(k_4, +) \gamma^\mu u(k_2, +) \\
 &= E(1+\beta) \chi_+(k_4)^\dagger \sigma_+^\mu \chi_+(k_2) + E(1-\beta) \chi_+(k_4)^\dagger \sigma_-^\mu \chi_+(k_2) \\
 &= 2E (\sin \frac{\theta}{2}, -\cos \frac{\theta}{2} e^{-i\phi}) [1, \beta \vec{\sigma}] \begin{pmatrix} 0 \\ 1 \end{pmatrix} \\
 &= 2E (\sin \frac{\theta}{2}, -\cos \frac{\theta}{2} e^{-i\phi}) \left[\begin{pmatrix} 0 \\ 1 \end{pmatrix}, \beta \begin{pmatrix} -1 \\ 0 \end{pmatrix}, \beta \begin{pmatrix} i \\ 0 \end{pmatrix}, \beta \begin{pmatrix} 0 \\ 1 \end{pmatrix} \right] \\
 &= 2E (\cos \frac{\theta}{2} e^{-i\phi}, -\beta \sin \frac{\theta}{2}, i\beta \sin \frac{\theta}{2}, -\beta \cos \frac{\theta}{2} e^{-i\phi})
 \end{aligned}$$

$$\begin{aligned}
 (641)'' \quad J_{31} \cdot J_{42} &= 4E^2 e^{-i\phi} (\cos^2 \frac{\theta}{2} + \beta^2 \sin^2 \frac{\theta}{2} + \beta^2 \sin^2 \frac{\theta}{2} + \beta^2 \cos^2 \frac{\theta}{2}) \\
 &= 4E^2 e^{-i\phi} \begin{cases} \cos^2 \frac{\theta}{2} + \beta^2 (1 + \sin^2 \frac{\theta}{2}) \\ 2 - (1 - \beta^2) (1 + \sin^2 \frac{\theta}{2}) \end{cases}
 \end{aligned}$$

$$\begin{aligned}
 (642) J_{41}^{\mu} &= \bar{u}(k_4, +) \gamma^{\mu} u(k_1, +) \\
 &= 2E \left(\sin \frac{\theta}{2}, -\cos \frac{\theta}{2} e^{-i\phi} \right) \left[\begin{pmatrix} 1 \\ 0 \end{pmatrix}, \beta \begin{pmatrix} 1 \\ 0 \end{pmatrix}, \beta \begin{pmatrix} 0 \\ 1 \end{pmatrix}, \beta \begin{pmatrix} 0 \\ 1 \end{pmatrix} \right] \\
 &= 2E \left(\sin \frac{\theta}{2}, -\beta \cos \frac{\theta}{2} e^{-i\phi}, -i\beta \cos \frac{\theta}{2} e^{-i\phi}, \beta \sin \frac{\theta}{2} \right)
 \end{aligned}$$

$$\begin{aligned}
 (642)' J_{32}^{\mu} &= \bar{u}(k_3, +) \gamma^{\mu} u(k_2, +) \\
 &= 2E \left(\cos \frac{\theta}{2}, \sin \frac{\theta}{2} e^{-i\phi} \right) \left[\begin{pmatrix} 0 \\ -1 \end{pmatrix}, \beta \begin{pmatrix} -1 \\ 0 \end{pmatrix}, \beta \begin{pmatrix} 1 \\ 0 \end{pmatrix}, \beta \begin{pmatrix} 0 \\ 1 \end{pmatrix} \right] \\
 &= 2E \left(-\sin \frac{\theta}{2} e^{-i\phi}, -\beta \cos \frac{\theta}{2}, +i\beta \cos \frac{\theta}{2}, \beta \sin \frac{\theta}{2} e^{-i\phi} \right)
 \end{aligned}$$

$$\begin{aligned}
 (642)'' J_{41}' J_{32} &= 4E^2 e^{-i\phi} \left(-\sin^2 \frac{\theta}{2} - \beta^2 \cos^2 \frac{\theta}{2} - \beta^2 \cos^2 \frac{\theta}{2} - \beta^2 \sin^2 \frac{\theta}{2} \right) \\
 &= 4E^2 e^{-i\phi} \begin{cases} -\sin^2 \frac{\theta}{2} - \beta^2 (1 + \cos^2 \frac{\theta}{2}) \\ -2 + (1 - \beta^2) (1 + \cos^2 \frac{\theta}{2}) \end{cases}
 \end{aligned}$$

高エネルギー極限 ($\beta \rightarrow 1$) は既知なので、上の方の表式を用いて、

$$(643) M_{++}^{++} = e^2 s \left\{ \frac{\cos^2 \frac{\theta}{2} + \beta^2 (1 + \sin^2 \frac{\theta}{2})}{t} + \frac{\sin^2 \frac{\theta}{2} + \beta^2 (1 + \cos^2 \frac{\theta}{2})}{u} \right\} e^{-i\phi}$$

干渉項は正です。低エネルギーでは他のハリシテ振幅も干渉するので計算します。

ハリシテ不変性を考慮すると、 $M_{++}^{++}, M_{++}^{+-}, M_{+-}^{++}, M_{+-}^{+-}, M_{+-}^{+-}, M_{+-}^{--}, M_{--}^{+-}, M_{--}^{--}$ で完全です。混山ですか。独立なカレントはそれほかにないので何とかなるでしょう。まず M_{+-}^{+-} 。

$$\begin{aligned}
 (644) (J_{42}^{\mu})_{+}^{-} &= \bar{u}(k_4, -) \gamma^{\mu} u(k_2, +) = E \sqrt{1 - \beta^2} \left\{ \chi_{-}^{\dagger}(k_4) \sigma_{+}^{\mu} \chi_{+}(k_2) + \chi_{-}^{\dagger}(k_4) \sigma_{-}^{\mu} \chi_{+}(k_2) \right\} \\
 &= 2m \left(\cos \frac{\theta}{2} e^{i\phi}, \sin \frac{\theta}{2} \right) \left[1, \vec{0} \right] \begin{pmatrix} 0 \\ -1 \end{pmatrix} \\
 &= -2m \sin \frac{\theta}{2} (1, 0, 0, 0)
 \end{aligned}$$

$$\begin{aligned}
 (644)' (J_{41})_+^- &= \bar{u}(k_4, -) \gamma^\mu u(k_1, +) = m \left\{ \chi_-^\dagger(k_4) [\sigma_+^\mu + \sigma_-^\mu] \chi_+(k_1) \right\} \\
 &= 2m \begin{pmatrix} \cos \frac{\theta}{2} e^{i\phi} & \sin \frac{\theta}{2} \\ 0 & 0 \end{pmatrix} [1, \vec{0}] \begin{pmatrix} 1 \\ 0 \end{pmatrix} \\
 &= 2m \cos \frac{\theta}{2} e^{i\phi} (1, 0, 0, 0)
 \end{aligned}$$

$$\begin{aligned}
 (644)'' M_{++}^{+-} &= \frac{e^2}{t} (J_{31}^\mu)_+^+ (J_{42\mu})_+^- - \frac{e^2}{u} (J_{41}^\mu)_+^- (J_{32\mu})_+^+ \\
 &= 4Em e^2 \left\{ \frac{(\cos \frac{\theta}{2})(-\sin \frac{\theta}{2})}{t} - \frac{(\cos \frac{\theta}{2} e^{i\phi})(-\sin \frac{\theta}{2} e^{-i\phi})}{u} \right\} \\
 &= 4Em e^2 \cos \frac{\theta}{2} \sin \frac{\theta}{2} \left(-\frac{1}{t} + \frac{1}{u} \right)
 \end{aligned}$$

次は M_{++}^{-+} .

$$\begin{aligned}
 (645) (J_{31}^\mu)_+^- &= \bar{u}(k_3, -) \gamma^\mu u(k_1, +) = m \left\{ \chi_-^\dagger(k_3) [\sigma_+^\mu + \sigma_-^\mu] \chi_+(k_1) \right\} \\
 &= 2m \begin{pmatrix} -\sin \frac{\theta}{2} e^{i\phi} & \cos \frac{\theta}{2} \\ 0 & 0 \end{pmatrix} [1, \vec{0}] \begin{pmatrix} 1 \\ 0 \end{pmatrix} = -2m \sin \frac{\theta}{2} e^{i\phi} (1, 0, 0, 0)
 \end{aligned}$$

$$\begin{aligned}
 (645)' (J_{32}^\mu)_+^- &= \bar{u}(k_3, -) \gamma^\mu u(k_2, +) = m \left\{ \chi_-^\dagger(k_3) [\sigma_+^\mu + \sigma_-^\mu] \chi_+(k_2) \right\} \\
 &= 2m \begin{pmatrix} -\sin \frac{\theta}{2} e^{i\phi} & \cos \frac{\theta}{2} \\ 0 & 0 \end{pmatrix} [1, \vec{0}] \begin{pmatrix} 0 \\ -1 \end{pmatrix} = -2m \cos \frac{\theta}{2} (1, 0, 0, 0)
 \end{aligned}$$

$$\begin{aligned}
 (645)'' M_{++}^{-+} &= \frac{e^2}{t} (J_{31}^\mu)_+^- (J_{42\mu})_+^+ - \frac{e^2}{u} (J_{41}^\mu)_+^+ (J_{32\mu})_+^- \\
 &= 4Em e^2 \left\{ \frac{1}{t} (-\sin \frac{\theta}{2} e^{i\phi})(\cos \frac{\theta}{2} e^{i\phi}) - \frac{1}{u} (\sin \frac{\theta}{2})(-\cos \frac{\theta}{2}) \right\} \\
 &= 4Em e^2 \cos \frac{\theta}{2} \sin \frac{\theta}{2} \left(-\frac{1}{t} + \frac{1}{u} \right)
 \end{aligned}$$

快調だね。次は M_{++}^{--} だね。これは既に計算したカレントを併せて

$$\begin{aligned}
 (646) M_{++}^{--} &= \frac{e^2}{t} (J_{31}^\mu)_+^- (J_{42\mu})_+^- - \frac{e^2}{u} (J_{41}^\mu)_+^- (J_{32\mu})_+^- \\
 &= 4m^2 e^2 \left\{ \frac{1}{t} (-\sin \frac{\theta}{2} e^{i\phi})(-\sin \frac{\theta}{2}) - \frac{1}{u} (\cos \frac{\theta}{2} e^{i\phi})(-\cos \frac{\theta}{2}) \right\} \\
 &= 4m^2 e^2 e^{i\phi} \left[\frac{1}{t} \sin^2 \frac{\theta}{2} + \frac{1}{u} \cos^2 \frac{\theta}{2} \right]
 \end{aligned}$$

そろそろ分かんないから、最後まで行きますね。次は M_{+-}^{++} のこと、

$$(647) (J_{32}^M)^+ = \bar{u}(k_3, +) \gamma^M u(k_2, -) = m \chi_+^+(k_3) [\sigma_+^M + \sigma_-^M] \chi_-(k_2)$$

$$= 2m \begin{pmatrix} \cos \frac{\theta}{2} \\ \sin \frac{\theta}{2} e^{-i\phi} \end{pmatrix} [1, \vec{0}] \begin{pmatrix} 1 \\ 0 \end{pmatrix} = 2m \cos \frac{\theta}{2} (1, 0, 0, 0)$$

$$(647)' (J_{42}^M)^+ = \bar{u}(k_4, +) \gamma^M u(k_2, -) = m \chi_+^+(k_4) [\sigma_+^M + \sigma_-^M] \chi_-(k_2)$$

$$= 2m \begin{pmatrix} \sin \frac{\theta}{2} \\ -\cos \frac{\theta}{2} e^{-i\phi} \end{pmatrix} [1, \vec{0}] \begin{pmatrix} 1 \\ 0 \end{pmatrix} = 2m \sin \frac{\theta}{2} (1, 0, 0, 0)$$

$$(647)'' M_{+-}^{++} = \frac{e^2}{t} (J_{31}^M)^+ (J_{42}^M)^+ - \frac{e^2}{u} (J_{41}^M)^+ (J_{32}^M)^+$$

$$= 4Em e^2 \left\{ \frac{1}{t} (\cos \frac{\theta}{2}) (\sin \frac{\theta}{2}) - \frac{1}{u} (\sin \frac{\theta}{2}) (\cos \frac{\theta}{2}) \right\}$$

$$= 4Em e^2 \cos \frac{\theta}{2} \sin \frac{\theta}{2} \left(\frac{1}{t} - \frac{1}{u} \right)$$

$$(648) (J_{42}^M)^- = \bar{u}(k_4, -) \gamma^M u(k_2, -)$$

$$= E \chi_-^+(k_4) [(1+\beta)\sigma_-^M + (1-\beta)\sigma_+^M] \chi_-(k_2)$$

$$= 2E \begin{pmatrix} \cos \frac{\theta}{2} e^{i\phi} \\ \sin \frac{\theta}{2} \end{pmatrix} [1, -\beta \vec{\sigma}] \begin{pmatrix} 1 \\ 0 \end{pmatrix}$$

$$= 2E \begin{pmatrix} \cos \frac{\theta}{2} e^{i\phi} \\ \sin \frac{\theta}{2} \end{pmatrix} \left[\begin{pmatrix} 1 \\ 0 \end{pmatrix}, -\beta \begin{pmatrix} 0 \\ 1 \end{pmatrix}, -\beta \begin{pmatrix} 0 \\ i \end{pmatrix}, -\beta \begin{pmatrix} 0 \\ 0 \end{pmatrix} \right]$$

$$= 2E (\cos \frac{\theta}{2} e^{i\phi}, -\beta \sin \frac{\theta}{2}, -i\beta \sin \frac{\theta}{2}, -\beta \cos \frac{\theta}{2} e^{i\phi})$$

$$(648)' M_{+-}^{+-} = \frac{e^2}{t} (J_{31}^M)^+ (J_{42}^M)^- - \frac{e^2}{u} (J_{41}^M)^- (J_{32}^M)^+$$

$$= \frac{e^2}{t} [4E^2 (\cos^2 \frac{\theta}{2} e^{i\phi} + \beta^2 \sin^2 \frac{\theta}{2} e^{-i\phi} - \beta^2 \sin^2 \frac{\theta}{2} e^{-i\phi} + \beta^2 \cos^2 \frac{\theta}{2} e^{i\phi})]$$

$$- \frac{e^2}{u} [4m^2 (\cos \frac{\theta}{2} e^{i\phi} \cos \frac{\theta}{2})]$$

$$= 4m^2 \underbrace{\cos^2 \frac{\theta}{2}}_{e^2} e^{i\phi} \left[\frac{\gamma^2 (1+\beta^2)}{t} - \frac{1}{u} \right]$$

$$(649) (J_{32}^M)^- = \bar{u}(k_3, -) \gamma^M u(k_2, -)$$

$$= E \chi_-^+(k_3) [(1+\beta) \sigma_-^M + (1-\beta) \sigma_+^M] \chi_-(k_2)$$

$$= 2E \begin{pmatrix} -\sin \frac{\theta}{2} e^{i\phi} \\ \cos \frac{\theta}{2} \end{pmatrix} [1, -\beta \vec{\sigma}] \begin{pmatrix} 1 \\ 0 \end{pmatrix}$$

$$= 2E \begin{pmatrix} -\sin \frac{\theta}{2} e^{i\phi} \\ \cos \frac{\theta}{2} \end{pmatrix} \left[\begin{pmatrix} 1 \\ 0 \end{pmatrix}, -\beta \begin{pmatrix} 0 \\ 1 \end{pmatrix}, -\beta \begin{pmatrix} 0 \\ 1 \end{pmatrix}, -\beta \begin{pmatrix} 1 \\ 0 \end{pmatrix} \right]$$

$$= 2E \left(-\sin \frac{\theta}{2} e^{i\phi}, -\beta \cos \frac{\theta}{2}, -i\beta \cos \frac{\theta}{2}, +\beta \sin \frac{\theta}{2} e^{i\phi} \right)$$

$$(649)' M_{+-}^{-+} = \frac{e^2}{t} (J_{31}^M)^+ (J_{42\mu})^- - \frac{e^2}{u} (J_{41}^M)^+ (J_{32\mu})^-$$

$$= \frac{e^2}{t} (-2m \sin \frac{\theta}{2} e^{i\phi}) (2m \sin \frac{\theta}{2}) - \frac{e^2}{u} 4E^2 \left(-\sin \frac{\theta}{2} e^{i\phi} - \beta^2 \cos \frac{\theta}{2} e^{-i\phi} + \beta^2 \cos \frac{\theta}{2} e^{-i\phi} - \beta^2 \sin \frac{\theta}{2} e^{i\phi} \right)$$

$$= -4m^2 e^2 \frac{1}{t} \sin^2 \frac{\theta}{2} e^{i\phi} + \frac{e^2}{u} 4E^2 \sin^2 \frac{\theta}{2} e^{i\phi} (1+\beta^2)$$

$$= 4m^2 e^2 \sin^2 \frac{\theta}{2} e^{i\phi} \left[-\frac{1}{t} + \frac{\gamma^2 (1+\beta^2)}{u} \right]$$

$$(650) M_{+-}^{-+} = \frac{e^2}{t} (J_{31}^M)^- (J_{42\mu})^- - \frac{e^2}{u} (J_{41}^M)^- (J_{32\mu})^-$$

$$= \frac{e^2}{t} (-2m \sin \frac{\theta}{2} e^{i\phi}) (2E \cos \frac{\theta}{2} e^{i\phi}) - \frac{e^2}{u} (2m \cos \frac{\theta}{2} e^{i\phi}) (-2E \sin \frac{\theta}{2} e^{i\phi})$$

$$= 4mE e^2 \cos \frac{\theta}{2} \sin \frac{\theta}{2} e^{2i\phi} \left(-\frac{1}{t} + \frac{1}{u} \right)$$

さて以上で λ_1, λ_2 振幅の完全系が完成したので、何でも計算できます。

まずは振幅の自乗のスピン和を求めてみましょう。 $E = m\gamma$ として、

$$(651) \sum_{\lambda_i} |M_{\lambda_1 \lambda_2}^{\lambda_3 \lambda_4}|^2 = 2 \left\{ |M_{++}^{++}|^2 + |M_{++}^{+-}|^2 + |M_{++}^{-+}|^2 + |M_{++}^{--}|^2 + |M_{+-}^{++}|^2 + |M_{+-}^{+-}|^2 + |M_{+-}^{-+}|^2 + |M_{+-}^{--}|^2 \right\}$$

$$= 8m^4 e^4 \left\{ \left[\gamma^2 (1+\beta^2) \left(\frac{1}{t} + \frac{1}{u} \right) + c \left(\frac{1}{t} - \frac{1}{u} \right) \right]^2 + (\sin \theta \gamma)^2 \left[\left(\frac{1}{t} - \frac{1}{u} \right)^2 \times 4 \right] + \left[\frac{1}{t} + \frac{1}{u} - c \left(\frac{1}{t} - \frac{1}{u} \right) \right]^2 \right.$$

$$\left. + (1+c)^2 \left[\frac{\gamma^2 (1+\beta^2)}{t} - \frac{1}{u} \right]^2 + (1-c)^2 \left[\frac{\gamma^2 (1+\beta^2)}{u} - \frac{1}{t} \right]^2 \right\}$$

まずは $\gamma \gg 1$ limit をとりましょう。この場合は γ^4 項だけが生き残るので

$$\begin{aligned}
 (652) \sum_{\lambda_i} |M_{\lambda_1 \lambda_2}^{\lambda_3 \lambda_4}|^2 &\xrightarrow[\gamma \gg 1]{\beta \rightarrow 1} 8E^4 e^4 \left\{ \left[4 \left(\frac{1}{\epsilon} + \frac{1}{u} \right) \right]^2 + (1+c)^2 \left(\frac{2}{\epsilon} \right)^2 + (1-c)^2 \left(\frac{2}{u} \right)^2 \right\} \\
 &= 8e^4 \left[\left(\frac{5}{\epsilon} + \frac{5}{u} \right)^2 + \left(\frac{1+c}{2} \right)^2 \left(\frac{5}{\epsilon} \right)^2 + \left(\frac{1-c}{2} \right)^2 \left(\frac{5}{u} \right)^2 \right] \\
 &= 8e^4 \left[\left(\frac{5}{\epsilon} + \frac{5}{u} \right)^2 + \left(\frac{4}{\epsilon} \right)^2 + \left(\frac{4}{u} \right)^2 \right] \\
 &= 2 \left\{ \overset{\uparrow}{|M_{++}^+|^2} + \overset{\uparrow}{|M_{+-}^+|^2} + \overset{\uparrow}{|M_{-+}^+|^2} \right\}
 \end{aligned}$$

これが QED の結果で、 M_{++}^+ に t -channel と u -channel の 2 振幅が効くけれど、干渉項は 正 であるわけです。今度は逆に $\gamma \rightarrow 1, \beta \rightarrow 0$ 極限をとります。

$$\begin{aligned}
 (653) \sum_{\lambda_i} |M_{\lambda_1 \lambda_2}^{\lambda_3 \lambda_4}|^2 &\xrightarrow[\gamma \rightarrow 1]{\beta \rightarrow 0} 8m^4 e^4 \left\{ \left[\frac{1}{\epsilon} + \frac{1}{u} + c \left(\frac{1}{\epsilon} - \frac{1}{u} \right) \right]^2 + 4(1-c^2) \left(\frac{1}{\epsilon} - \frac{1}{u} \right)^2 \right. \\
 &\quad \left. + \left[\frac{1}{\epsilon} + \frac{1}{u} - c \left(\frac{1}{\epsilon} - \frac{1}{u} \right) \right]^2 + [(1+c)^2 + (1-c)^2] \left(\frac{1}{\epsilon} - \frac{1}{u} \right)^2 \right\} \\
 &= 8m^4 e^4 \left\{ 2 \left(\frac{1}{\epsilon} + \frac{1}{u} \right)^2 + [2c^2 + 4 - 4c^2 + 2 + 2c^2] \left(\frac{1}{\epsilon} - \frac{1}{u} \right)^2 \right\} \\
 &= 32m^4 e^4 \left\{ \left(\frac{1}{\epsilon} - \frac{1}{u} \right)^2 + \left(\frac{1}{\epsilon} \right)^2 + \left(\frac{1}{u} \right)^2 \right\}
 \end{aligned}$$

今度は負の干渉項となりました。(652) と (653) の結果は QED の既知の結果と一致しますので、今度は正しく計算できたようです。私の頭の中に、20年以上も前のかすかな気憶として (653) 式が残っていて、深く考えずに、「フェルミ統計から反対称で負の干渉」という連想ができてしまっていたようです。

さて、せ、かく (653) の非相対論極限の式が求まったので、 $\{ \}$ の中の

3項それぞれが、散乱の前後でスピンの保存する振幅の寄与であることを説明しよう。有名な「重クォーク有効理論(HQET)」の定理、「重いフェルミオンのスピンは変化しない(変化は β に比例する)」の具体例です。HQETはBメソンの物理の道具だ、なんて思わなくてくだらね。LHCやLCでtopや更に重いフェルミオンが生成されたとて、役に立ちますか。(スピン1でも $\frac{3}{2}$ でも2でも重ければ役に立つと思います。)

さて、ハジテリ-振幅からスピン振幅を求めますが、この違い分かりますか?

ハジテリ-は粒子の運動量の向きのスピン成分です。運動量の向きが変わる散乱過程では、「ハジテリ-保存」は「スピン非保存」です。ここでは、

入射電子の向きを (k_1) 角運動量の量子化の軸^(軸)と1、全てのスピンをこの向きで測る(量子化する)ことにします。すると、入射電子 (k_1) のハジテリ-スピノールがそのままスピンベクトルとなります。

$$(654) \quad |\uparrow\rangle_1 = \chi_+(k_1) = \begin{pmatrix} 1 \\ 0 \end{pmatrix}$$

$$|\downarrow\rangle_1 = \chi_-(k_1) = \begin{pmatrix} 0 \\ 1 \end{pmatrix}$$

入射電子 (k_2) のスピンベクトルは、

$$(655) \quad |\uparrow\rangle_2 = \begin{pmatrix} 1 \\ 0 \end{pmatrix} = \chi_-(k_2)$$

$$|\downarrow\rangle_2 = \begin{pmatrix} 0 \\ 1 \end{pmatrix} = -\chi_+(k_2)$$

要するに、 k_2 電子の場合、スピンとハジテリ-は逆なのです。当然。 k_3 と k_4 の

電子についても $|\uparrow\rangle_i = \begin{pmatrix} 1 \\ 0 \end{pmatrix}$, $|\downarrow\rangle_i = \begin{pmatrix} 0 \\ 1 \end{pmatrix}$ ($i=3,4$) を使ってスピン振幅を
求めるのですが、これを Λ リンテリ-固有 Λ 7112 で表わすわけにはいきません。

$$(656a) \chi_+(k_3) = \begin{pmatrix} \cos \frac{\theta}{2} \\ \sin \frac{\theta}{2} e^{i\phi} \end{pmatrix} = \cos \frac{\theta}{2} |\uparrow\rangle_3 + \sin \frac{\theta}{2} e^{i\phi} |\downarrow\rangle_3$$

$$\chi_-(k_3) = \begin{pmatrix} -\sin \frac{\theta}{2} e^{-i\phi} \\ \cos \frac{\theta}{2} \end{pmatrix} = -\sin \frac{\theta}{2} e^{-i\phi} |\uparrow\rangle_3 + \cos \frac{\theta}{2} |\downarrow\rangle_3$$

$$(656b) \chi_+(k_4) = \begin{pmatrix} \sin \frac{\theta}{2} \\ -\cos \frac{\theta}{2} e^{i\phi} \end{pmatrix} = \sin \frac{\theta}{2} |\uparrow\rangle_4 + \cos \frac{\theta}{2} e^{i\phi} |\downarrow\rangle_4$$

$$\chi_-(k_4) = \begin{pmatrix} \cos \frac{\theta}{2} e^{-i\phi} \\ \sin \frac{\theta}{2} \end{pmatrix} = \cos \frac{\theta}{2} e^{-i\phi} |\uparrow\rangle_4 + \sin \frac{\theta}{2} |\downarrow\rangle_4$$

従って

$$(657a) \begin{pmatrix} |\uparrow\rangle_3 \\ |\downarrow\rangle_3 \end{pmatrix} = U \begin{pmatrix} \chi_+(k_3) \\ \chi_-(k_3) \end{pmatrix} = \begin{bmatrix} \cos \frac{\theta}{2} & -\sin \frac{\theta}{2} e^{i\phi} \\ \sin \frac{\theta}{2} e^{-i\phi} & \cos \frac{\theta}{2} \end{bmatrix} \begin{pmatrix} \chi_+(k_3) \\ \chi_-(k_3) \end{pmatrix}$$

$$(657b) \begin{pmatrix} |\uparrow\rangle_4 \\ |\downarrow\rangle_4 \end{pmatrix} = V \begin{pmatrix} \chi_+(k_4) \\ \chi_-(k_4) \end{pmatrix} = \begin{bmatrix} \sin \frac{\theta}{2} & \cos \frac{\theta}{2} e^{i\phi} \\ -\cos \frac{\theta}{2} e^{-i\phi} & \sin \frac{\theta}{2} \end{bmatrix} \begin{pmatrix} \chi_+(k_4) \\ \chi_-(k_4) \end{pmatrix}$$

これで全てのスピン振幅が計算できます。 $|S_i\rangle$ を $|\uparrow\rangle_i$ の $|\downarrow\rangle_i$ として。

$$(658) M_{S_1 S_2}^{S_3 S_4} = \langle S_4 | \langle S_3 | T | S_1 \rangle | S_2 \rangle$$

$$\begin{aligned} &= \sum_{\lambda_3, \lambda_4} (V_{S_4 \lambda_4} \chi_{\lambda_4}(k_4)) (U_{S_3 \lambda_3} \chi_{\lambda_3}(k_3))^\dagger T \chi_{S_1}(k_1) \chi_{-S_2}(k_2) S_2 \\ &= \sum_{\lambda_3, \lambda_4} (U_{S_3 \lambda_3})^* (V_{S_4 \lambda_4})^* \underbrace{\chi_{\lambda_4}^\dagger(k_4) \chi_{\lambda_3}^\dagger(k_3) T \chi_{S_1}(k_1) \chi_{-S_2}(k_2)}_{S_2} S_2 \\ &= \sum_{\lambda_3, \lambda_4} (U_{S_3 \lambda_3})^* (V_{S_4 \lambda_4})^* M_{\lambda_1 \lambda_2}^{\lambda_3 \lambda_4} S_2(\lambda_1 = S_1, \lambda_2 = -S_2) \end{aligned}$$

ここで $|S_i = +\rangle = |\uparrow\rangle_i$, $|S_i = -\rangle = |\downarrow\rangle_i$ としました。つまり、任意のスピン振幅は

Λ リンテリ-振幅の線型重ね合わせで表わせるわけです。これはスピン不変振

幅、 $M_{\uparrow\uparrow}^{\uparrow\uparrow}$ と $M_{\uparrow\downarrow}^{\uparrow\downarrow}$ と $M_{\downarrow\downarrow}^{\uparrow\downarrow}$ を計算してみよう。 $M_{\uparrow\downarrow}^{\uparrow\downarrow}$ は t-channel だけ、

$M_{\uparrow\downarrow}^{\downarrow\uparrow}$ は u-channel だけ、 $M_{\uparrow\uparrow}^{\uparrow\uparrow}$ は両方寄与するはずです。

$$\begin{aligned}
 (659a) M_{\uparrow\downarrow}^{\uparrow\downarrow} &= \sum_{\lambda_3 \lambda_4} (U_{\uparrow\lambda_3})^* (V_{\downarrow\lambda_4})^* M_{++}^{\lambda_3 \lambda_4} (-1) \\
 &= - \left\{ \cos \frac{\theta}{2} (-\cos \frac{\theta}{2} e^{i\phi}) M_{++}^{++} + \cos \frac{\theta}{2} \sin \frac{\theta}{2} M_{++}^{+-} + \sin \frac{\theta}{2} e^{-i\phi} \cos \frac{\theta}{2} e^{i\phi} M_{++}^{-+} - \sin \frac{\theta}{2} e^{-i\phi} \sin \frac{\theta}{2} \right. \\
 &= 4m^2 e^2 \left\{ \cos^2 \frac{\theta}{2} \left(\frac{\cos^2 \frac{\theta}{2}}{t} + \frac{\sin^2 \frac{\theta}{2}}{u} \right) - \cos^2 \frac{\theta}{2} \sin^2 \frac{\theta}{2} \left(-\frac{1}{t} + \frac{1}{u} \right) - \sin^2 \frac{\theta}{2} \cos^2 \frac{\theta}{2} \left(-\frac{1}{t} + \frac{1}{u} \right) + \sin^2 \frac{\theta}{2} \left(\frac{\sin^2 \frac{\theta}{2}}{t} \right. \right. \\
 &= 4m^2 e^2 \left\{ \frac{1}{t} \left(\cos^4 \frac{\theta}{2} + \cos^2 \sin^2 \frac{\theta}{2} \times 2 + \sin^4 \frac{\theta}{2} \right) + \frac{1}{u} \left(\cos^2 \frac{\theta}{2} \sin^2 \frac{\theta}{2} \right) (1-1-1+1) \right\} \\
 &= 4m^2 e^2 \frac{1}{t} \quad (\beta \rightarrow 0 \text{ limit } t \text{ だけ}) .
 \end{aligned}$$

$$\begin{aligned}
 (659b) M_{\uparrow\downarrow}^{\downarrow\uparrow} &= \sum_{\lambda_3 \lambda_4} (U_{\downarrow\lambda_3})^* (V_{\uparrow\lambda_4})^* M_{++}^{\lambda_3 \lambda_4} (-1) \\
 &= - \left\{ \sin \frac{\theta}{2} e^{i\phi} \sin \frac{\theta}{2} M_{++}^{++} + \sin \frac{\theta}{2} e^{i\phi} \cos \frac{\theta}{2} e^{-i\phi} M_{++}^{+-} + \cos \frac{\theta}{2} \sin \frac{\theta}{2} M_{++}^{-+} + \cos \frac{\theta}{2} \cos \frac{\theta}{2} e^{-i\phi} M_{++}^{--} \right\} \\
 &= 4m^2 e^2 \left\{ -\sin^2 \frac{\theta}{2} \left(\frac{\cos^2 \frac{\theta}{2}}{t} + \frac{\sin^2 \frac{\theta}{2}}{u} \right) - \sin^2 \frac{\theta}{2} \cos^2 \frac{\theta}{2} \left(-\frac{1}{t} + \frac{1}{u} \right) \times 2 - \cos^2 \frac{\theta}{2} \left(\frac{\sin^2 \frac{\theta}{2}}{t} + \frac{\cos^2 \frac{\theta}{2}}{u} \right) \right\} \\
 &= -4m^2 e^2 \frac{1}{u} + O(\beta)
 \end{aligned}$$

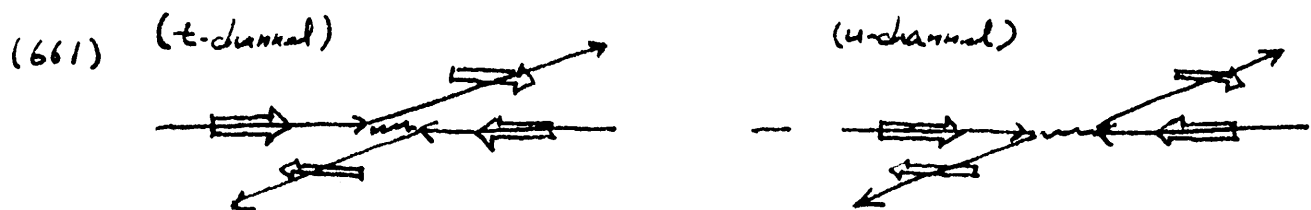
$$\begin{aligned}
 (659c) M_{\uparrow\uparrow}^{\uparrow\uparrow} &= \sum_{\lambda_3 \lambda_4} (U_{\uparrow\lambda_3})^* (V_{\uparrow\lambda_4})^* M_{+-}^{\lambda_3 \lambda_4} \\
 &= \cos \frac{\theta}{2} \sin \frac{\theta}{2} M_{+-}^{++} + \cos \frac{\theta}{2} \cos \frac{\theta}{2} e^{-i\phi} M_{+-}^{+-} + (-\sin \frac{\theta}{2} e^{-i\phi}) \sin \frac{\theta}{2} M_{+-}^{-+} + (-\sin \frac{\theta}{2} e^{-i\phi}) \cos \frac{\theta}{2} e^{-i\phi} \\
 &= 4m^2 e^2 \left\{ \cos^2 \frac{\theta}{2} \sin^2 \frac{\theta}{2} \left(\frac{1}{t} - \frac{1}{u} \right) + \cos^4 \frac{\theta}{2} \left(\frac{1}{t} - \frac{1}{u} \right) + \sin^4 \frac{\theta}{2} \left(\frac{1}{t} - \frac{1}{u} \right) + \cos^2 \frac{\theta}{2} \sin^2 \frac{\theta}{2} \left(\frac{1}{t} - \frac{1}{u} \right) \right. \\
 &= 4m^2 e^2 \left(\frac{1}{t} - \frac{1}{u} \right) + O(\beta)
 \end{aligned}$$

こゝまでで、 $\beta \rightarrow 0$ 極限の振幅の自乗のスコイン和の式 (653) を再現してみたが (1044-
不変性で全てのスコインを反転したものの和を $\times 2$ で代用しています)、HQETの定理、「 $\beta \rightarrow 0$ で

フェルミオンのスピンは変化しない」が実証されたこととなります。そして、(659c)で、 t -channel 振幅と u -channel 振幅が相殺することが見てとれます。スピンの量子化の軸を共通にとったので、波動関数の反対称化がそのまま振幅の相殺となったわけですが、 $\beta \rightarrow 1$ 極限のハジテリ振幅 M_{++}^{++} (643) の場合は、反対称化の結果、振幅が増幅します。始状態と終状態の量子化の軸が $\theta = 90^\circ$ のとき直交するのですが、このとき、干渉により、振幅はゼロになるのではなく2倍になります。(-1)の因子がスピンの波動関数にあるはずですが、それぞれ道草が長くなったので、ここ以上追及しません。前方散乱 ($\theta \rightarrow 0$) の極限でスピンの量子化軸が一致することを利用して考えたことを述べます。(659a)で $\beta \rightarrow 1$ 極限をとると、

$$\begin{aligned}
 (660) \quad M_{\uparrow\downarrow}^{\uparrow\downarrow} &= \cos^2 \frac{\theta}{2} e^{i\phi} M_{++}^{++} - \cos^2 \frac{\theta}{2} \sin^2 \frac{\theta}{2} (M_{++}^{+-} + M_{++}^{-+}) + \sin^2 \frac{\theta}{2} e^{-i\phi} M_{++}^{--} \\
 &\xrightarrow{\beta \rightarrow 1} \cos^2 \frac{\theta}{2} e^{i\phi} M_{++}^{++} \\
 &= e^{2s} (1 + \cos \theta) \left(\frac{1}{t} + \frac{1}{u} \right) \\
 &\xrightarrow{\theta \rightarrow 0} 2 e^{2s} \left(\frac{1}{t} + \frac{1}{u} \right) = M_{++}^{++}
 \end{aligned}$$

であるわけですが、この極限でスピン(z軸の向きのスピン)を考えると、



t -channel 過程のカリブは共にスピン保存、 u -channel 過程のカリブは共に

スピンプラズマであることが分かります。このスピンプラズマカレントの積が、
 (一) 因子の起原たるかと思っております。ここで次に進まずに申し上げます。
 干渉項の符号を間違えたことが少し shock だったため、ずい分と長い
 より道をしてしまいました。このより道で、ハリツテ-振幅の完全系は
 relative phase を含めて物理(観測量)の完全な情報を有しており、
 任意のスピンプラズマ振幅を構成できる、ということを学んで下さい。HELAS 与
 MadGraph とした数値プログラムでハリツテ-振幅が簡単に計算
 できるので、任意の過程の任意の粒子のスピンプラズマ偏極化、偏極相
 関も、この様に簡単に求められるわけです。解析的な計算は
 面頭でしなけれど、数値計算なら簡単だし、誤りも避けられます。

ここで、QCD の $2 \rightarrow 2$ 過程の計算の check は完全に終了したので、
 p. 193 ~ 195 の (583) - (585) のまとめを再掲します。ハリツテ-振幅を再掲する
 ことはしませんか、Web 上のコピーで、全ての誤りを訂正しておきますので、使用
 して下さい。今回のまとめでは、同種粒子の場合、phase space が
 $0 < \theta < \pi$ である旨を必ず書かれました。この方が $\theta \rightarrow \pi$ での
 比較等をするときに誤解が少ないと思っております。

QCD 2 → 2 過程の断面積のまとめ。 [p. 193 - p. 195 (583) - (585) の再掲]

$$(662a) \left(\frac{d\sigma}{dc}\right)^{q\bar{q} \rightarrow q\bar{q}} = \frac{4\pi\alpha_s^2}{s} \cdot \frac{T_F^2(N^2-1)}{N^2} \cdot \frac{1}{4} \frac{s^2+u^2}{t^2}$$

$$= \frac{4\pi\alpha_s^2}{s} \cdot \frac{2}{9} \cdot \left\{ \frac{2}{(1-c)^2} - \frac{1}{(1-c)} + \frac{1}{4} \right\}$$

$$(662b) \left(\frac{d\sigma}{dc}\right)^{q\bar{q} \rightarrow q\bar{q}} = \frac{4\pi\alpha_s^2}{s} \cdot \frac{T_F^2(N^2-1)}{N^2} \cdot \frac{1}{4} \left\{ \frac{s^2+u^2}{t^2} + \frac{s^2+t^2}{u^2} + \left(-\frac{1}{N}\right) \frac{2s^2}{tu} \right\}$$

$$= \frac{4\pi\alpha_s^2}{s} \cdot \frac{2}{9} \cdot \left\{ \frac{2}{(1-c)^2} + \frac{2}{(1+c)^2} - \frac{1}{(1-c)} - \frac{1}{(1+c)} + \frac{1}{2} + \left(-\frac{1}{3}\right) \left(\frac{1}{1-c} + \frac{1}{1+c}\right) \right\}$$

$$= \frac{4\pi\alpha_s^2}{s} \cdot \frac{2}{9} \cdot \left\{ \frac{2}{(1-c)^2} + \frac{2}{(1+c)^2} - \frac{4}{3(1-c)} - \frac{4}{3(1+c)} + \frac{1}{2} \right\}$$

$$\boxed{0 < \cos\theta < 1}$$

$$(662c) \left(\frac{d\sigma}{dc}\right)^{q\bar{q} \rightarrow q\bar{q}} = \frac{4\pi\alpha_s^2}{s} \cdot \frac{T_F^2(N^2-1)}{N^2} \cdot \frac{1}{2} \left\{ \frac{s^2+u^2}{t^2} - \frac{s^2+u^2}{2su} + \left(\frac{-1}{N^2-1}\right) \left(-\frac{s^2+u^2}{t^2}\right) \right\}$$

$$= \frac{4\pi\alpha_s^2}{s} \cdot \frac{2}{9} \cdot \left\{ \frac{4}{(1-c)^2} - \frac{2}{(1-c)} + \frac{1}{2(1+c)} + \frac{5+c}{8} + \left(-\frac{1}{8}\right) \left(\frac{-4}{(1-c)^2} + \frac{2}{1-c} - \frac{1}{2}\right) \right\}$$

$$= \frac{4\pi\alpha_s^2}{s} \cdot \frac{2}{9} \cdot \left\{ \frac{9}{2} \frac{1}{(1-c)^2} - \frac{9}{4} \frac{1}{(1-c)} + \frac{11+2c}{16} + \frac{1}{2(1+c)} \right\}$$

$$(662d) \left(\frac{d\sigma}{dc}\right)^{q\bar{q} \rightarrow q\bar{q}} = \frac{4\pi\alpha_s^2}{s} \cdot \frac{4T_F^2N^2}{N^2-1} \cdot \frac{1}{2} \left\{ 3 - \frac{tu}{s^2} - \frac{su}{t^2} - \frac{st}{u^2} \right\}$$

$$= \frac{4\pi\alpha_s^2}{s} \cdot \frac{9}{8} \cdot \left\{ \frac{2}{(1-c)^2} + \frac{2}{(1+c)^2} - \frac{1}{(1-c)} - \frac{1}{(1+c)} + \frac{11+c^2}{8} \right\}$$

$$\boxed{0 < \cos\theta < 1}$$

$$(662e) \left(\frac{d\sigma}{dc}\right)^{q\bar{q} \rightarrow q\bar{q}} = \frac{4\pi\alpha_s^2}{s} \cdot \frac{T_F^2(N^2-1)^2}{N^3} \cdot \frac{1}{2} \left\{ \frac{t^2+u^2}{s^2} - \frac{t^2+u^2}{2tu} + \left(\frac{-1}{N^2-1}\right) \left(-\frac{t^2+u^2}{s^2}\right) \right\} \times (-1)$$

$$= \frac{4\pi\alpha_s^2}{s} \cdot \frac{16}{27} \cdot \left\{ \frac{1}{2(1-c)} + \frac{1}{2(1+c)} - \frac{25+9c^2}{32} \right\}$$

$$\boxed{0 < \cos\theta < 1}$$

$$(662f) \left(\frac{d\sigma}{dc}\right)^{q\bar{q} \rightarrow q\bar{q}} = \frac{4\pi\alpha_s^2}{s} \cdot \frac{T_F^2}{N} \cdot \frac{1}{2} \left\{ \frac{t^2+u^2}{s^2} - \frac{t^2+u^2}{2tu} + \left(\frac{-1}{N^2-1}\right) \left(-\frac{t^2+u^2}{s^2}\right) \right\} \times (-1)$$

$$= \frac{4\pi\alpha_s^2}{s} \cdot \frac{1}{12} \cdot \left\{ \frac{1}{2(1-c)} + \frac{1}{2(1+c)} - \frac{25+9c^2}{32} \right\}$$

$$(662g) \left(\frac{d\sigma}{dc} \right)_{\bar{q}q \rightarrow q'\bar{q}'} = \frac{4\pi\alpha_s^2}{s} \cdot \frac{T_F^2(N^2-1)}{N^2} \cdot \frac{1}{4} \frac{t^2+u^2}{s^2}$$

$$= \frac{4\pi\alpha_s^2}{s} \cdot \frac{2}{9} \cdot \left\{ \frac{1+c^2}{8} \right\}$$

$$(662h) \left(\frac{d\sigma}{dc} \right)_{\bar{q}q \rightarrow q\bar{q}} = \frac{4\pi\alpha_s^2}{s} \cdot \frac{T_F^2(N^2-1)}{N^2} \cdot \frac{1}{4} \left\{ \frac{s^2+u^2}{t^2} + \frac{t^2+u^2}{s^2} + \left(-\frac{1}{N}\right) \frac{2u^2}{st} \right\}$$

$$= \frac{4\pi\alpha_s^2}{s} \cdot \frac{2}{9} \cdot \left\{ \frac{2}{(1-c)^2} - \frac{2}{3(1-c)} + \frac{3-2c+3c^2}{24} \right\}$$

以上です。それぞれの断面積の一行目の表式にはカラ-因子を顕わに記し、

第二カラ-因子は主要な因子との上比 $\left(\frac{1}{N} + \frac{1}{N^2-1}\right)$ で表わした。又、 s, t, u

変数を用いることによつて、 $qq \rightarrow qq$ と $q\bar{q} \rightarrow q\bar{q}, q\bar{q} \rightarrow q\bar{q}$ が $s \leftrightarrow t$ 交換、

$q\bar{q} \rightarrow q\bar{q}$ と $q\bar{q} \rightarrow q\bar{q}$ が $s \leftrightarrow u$ 交換で得られることを示した。 $qq \rightarrow qq$ 断面積

積が $s \leftrightarrow t \leftrightarrow u \leftrightarrow s$ 対称なことも見てとれます。これらの関係(交差対称性)

はハリツテ-振幅の段階では見にくいので、計算の check に有効です。

(662) 式の結果は原著論文(627)の結果と一致し、ハリツテ-振幅の計算の誤りもほぼ完全に駆逐できたと思えます。

$c = \cos\theta \rightarrow 1$ の振舞の普遍性(universality)は重要です。

$4\pi\alpha_s^2/s$ を単位として、次の三過程

$$(663) \left\{ \begin{array}{l} \frac{4}{9} \frac{1}{(1-c)^2} \quad \dots \quad \bar{q}q' \rightarrow q\bar{q}' = \bar{q}\bar{q}' \rightarrow q\bar{q}', q\bar{q} \rightarrow q\bar{q}, \bar{q}\bar{q} \rightarrow q\bar{q} \quad (662a) \\ 1 \frac{1}{(1-c)^2} \quad \dots \quad qq \rightarrow qq = \bar{q}\bar{q} \rightarrow \bar{q}\bar{q} \quad (662c) \\ \frac{7}{4} \frac{1}{(1-c)^2} \quad \dots \quad q\bar{q} \rightarrow q\bar{q} \quad (662d) \end{array} \right.$$

は全て t-channel に gluon を交換します。カラー因子と振幅の積が、
 $\frac{4}{9} : 1 : \frac{9}{4}$ となることは覚えておく役に立ちますね。

通常のコライダー実験では、 $q, q', \bar{q}, \bar{q}', g$ 等の jet を区別できない
 場合がほとんどです。上記の $2 \rightarrow 2$ 過程は全て、2 ジェット生成への
 寄与と考えることができますが、この上の場合、 $\cos\theta = |c|$ と $\cos\theta = -|c|$ は
 区別できません。ジェット生成断面積を

$$(664) \left(\frac{d\sigma}{d|c|} \right)^{ab \rightarrow cd} \begin{cases} = \left(\frac{d\sigma}{dc} \right)_{c=|c|}^{ab \rightarrow cd} + \left(\frac{d\sigma}{dc} \right)_{c=-|c|}^{ab \rightarrow cd} & c \neq d \text{ の場合} \\ = \left(\frac{d\sigma}{dc} \right)_{c=|c|}^{ab \rightarrow cd} & c = d \text{ (同種粒子の場合)} \end{cases}$$

と定義しておく。 $|c|=0$ でのジェット生成の大きさを比較すると、

やはり $4\pi ds^2/s$ を単位として、大きい順に

$$(665) \left. \begin{array}{l} \frac{243}{64} = 3.8 \quad \dots \quad q\bar{q} \rightarrow q\bar{q} \\ \frac{55}{36} = 1.5 \quad \dots \quad q\bar{q} \rightarrow qg \\ \frac{35}{54} = 0.65 \quad \dots \quad q\bar{q} \rightarrow q\bar{q} \\ \frac{5}{9} = 0.56 \quad \dots \quad q\bar{q}' \rightarrow q\bar{q}' \\ \frac{11}{27} = 0.41 \quad \dots \quad q\bar{q} \rightarrow q\bar{q} \\ \frac{7}{54} = 0.13 \quad \dots \quad q\bar{q} \rightarrow g\bar{g} \\ \frac{1}{18} = 0.056 \quad \dots \quad q\bar{q} \rightarrow q'\bar{q}' \\ \frac{1}{192} = 0.036 \quad \dots \quad g\bar{g} \rightarrow q\bar{q} \end{array} \right\} \frac{1}{(1-c)^2} \text{ を持つ過程です。}$$

} 7E 生成に寄与する過程です。

簡単な計算ばかりですが、ミスがあるかも知れません。check してください。 (665) の数字をながめてみると、いくつか記憶しておくべきことがあるように思えます。

- (665) の過程は全て $O(\alpha_s^2)$ の $2 \rightarrow 2$ 過程で、且つ、 $\cos\theta = 0$ で t - と u -channel に交換する粒子の寄与が最小の場合であるにもかかわらず、断面積の大きさが $100:1$ 以上違うこと。

- $\cos\theta \rightarrow 1$ の普遍性から、 $(gg \rightarrow gg) : (q\bar{q} \rightarrow q\bar{q}) : (q\bar{q}' \rightarrow q\bar{q}') = \frac{9}{4} : 1 : \frac{4}{9}$
 $= 2.25 : 1 : 0.44$ だが、 $\cos\theta = 0$ ではこの上か、

$$2.5 : 1 : 0.42 \quad (q\bar{q} \rightarrow q\bar{q}) : 0.36 \quad (q\bar{q}' \rightarrow q\bar{q}') : 0.27 \quad (q\bar{q} \rightarrow q\bar{q})$$

になっています。これは、干渉等により、 $\cos\theta$ 分布の形が違うことを反映しているわけです。high P_T の極限で、Tevatron では $u\bar{u} \rightarrow u\bar{u}$ 、LHC では $u\bar{u} \rightarrow u\bar{u}$ が優性になりますが、 $\cos\theta = 0$ の断面積が $3:2$ 以上も違うのは、驚きです。 $u\bar{u} \rightarrow u\bar{u}$ は $gg \rightarrow gg$ の $\frac{1}{9}$ (かありません)。

- 初期状態に無い $q\bar{q}$ 対を生成する断面積 2 過程が最低で、 $q\bar{q} \rightarrow q\bar{q}'$ は $gg \rightarrow gg$ の $\frac{1}{70}$ 、 $gg \rightarrow q\bar{q}$ は $\frac{1}{100}$ (かありません。これは $\frac{m^2}{s} \rightarrow 0$ 極限の値ですから、top の様に有限質量だと、更に小さくなります)。

輻射過程

さて待望の輻射過程の講義に入ります。出発点として、QEDの「等価光子の近似」"Equivalent real photon (particle) approximation"

(666) C. Weizsäcker, ZP 612 (1938); E. J. Williams, PR 45, 729 (1934)

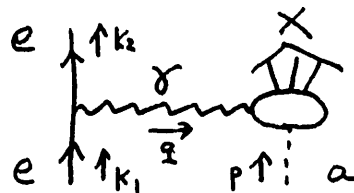
をハリエー振幅を使って導出します。電子の質量が有限で α が小さいことから、不定性が無く、電子中の電子、光子の分布、光子中の電子の分布が定義できることを確認します。つまり、QEDからパートン模型(パートンは電子、陽電子と光子です)が導出されるわけです。この類相から、QCDでも擾動QCDを用いてパートン模型の基礎をつかむことができることに気がついたのか。

(667) V. N. Gribov & L. Lipatov, SJNP 15, 438 (1972);
G. Altarelli & G. Parisi, NPB 126, 298 (1977)

です。GLAP方程式を導き、その基本的性質の解説までを解説したいと思います。

まずは、 $e \rightarrow \gamma$ 分岐の始めをしよう。考慮する過程は

$$(666) \left\{ \begin{array}{l} e + a \rightarrow e + X \\ e(k_1, \lambda_1) + a(p) \rightarrow e(k_2, \lambda_2) + X(p_X) \end{array} \right.$$



電子の質量を有限にして、有限な QED の振幅を求めたいので、

$$(667) \quad k_1 + p = k_2 + p_X, \quad k_1 - k_2 = \not{q}$$

$$k_1^2 \neq k_2^2 = m^2, \quad p^2 = 0, \quad p_X^2 = \hat{s} = (q+p)^2 = 2\not{q}p + \not{q}^2$$

$$(k_1 + p)^2 = m^2 + 2k_1 p = s$$

とします。振幅は、

$$(668) \quad M_{\lambda_1}^{\lambda_2} = \bar{u}(k_2, \lambda_2) e \gamma^\mu u(k_1, \lambda_1) \frac{-g_{\mu\nu}}{q^2} T^\nu(q, p)$$

$$\equiv e J_{\lambda_1, \lambda_2}^\mu \frac{-g_{\mu\nu}}{q^2} T^\nu(q, p)$$

と書けます。ここで $\delta^* + a \rightarrow X$ 振幅のゲージ不変性は仮定します。

$$(669) \quad q_\nu T^\nu(q, p) = 0.$$

断面積は

$$(670) \quad d\sigma = \frac{1}{2s} \cdot \frac{1}{2} \sum_{\lambda_1, \lambda_2} |M_{\lambda_1}^{\lambda_2}|^2 d\Phi(k_2 + p_X)$$

$$= \frac{1}{4s} \cdot \sum_{\lambda_1, \lambda_2} e^2 J_{\lambda_1, \lambda_2}^\mu J_{\lambda_1, \lambda_2}^{\nu*} \frac{1}{(q^2)^2} T_\mu T_\nu^* \frac{d^3 k_2}{(2\pi)^3 2E_2} d\Phi_X$$

$$= \frac{1}{4s} \cdot L^{\mu\nu} W_{\mu\nu} \cdot \frac{1}{(q^2)^2} \cdot \frac{d^3 k_2}{(2\pi)^3 2E_2}$$

$$L^{\mu\nu} = e^2 \sum_{\lambda_1, \lambda_2} J_{\lambda_1, \lambda_2}^\mu J_{\lambda_1, \lambda_2}^{\nu*} = e^2 \text{tr} \left[(\not{k}_2 + m) \gamma^\mu (\not{k}_1 + m) \gamma^\nu \right]$$

$$= 4e^2 \left[k_1^\mu k_2^\nu + k_1^\nu k_2^\mu - (k_1 \cdot k_2 - m^2) g^{\mu\nu} \right]$$

$$W^{\mu\nu} = T^\mu T^{\nu*} d\Phi_X$$

$$= \left(-g^{\mu\nu} + \frac{\not{p} \not{q}}{q^2} \right) W_1(p, q, q^2) + \left(p^\mu - \frac{q \cdot p}{q^2} q^\mu \right) \left(p^\nu - \frac{q \cdot p}{q^2} q^\nu \right) \frac{1}{2q \cdot p} W_2(p, q, q^2)$$

おなじみの DIS の表式であるが、全断面積を考えると、 $q^2 \rightarrow 0$ 極限 (奥好

極限)の寄与が主要な役割をもちます。この極限で、 $L^{\mu\nu} W_{\mu\nu} \sim O(\epsilon^2)$ 、 $d^3k_2/2E_2 \sim dE_2 d\Omega^2$ のので、断面積は $dE_2 d\Omega(-\epsilon^2)$ の様に振る舞います。このことを、(668)の δ^* propagator を実光子の積分和で表現します。

$$(671) \quad -g^{\mu\nu} = \sum_{\lambda=\pm 1} \epsilon^\mu(q, \lambda)^* \epsilon^\nu(q, \lambda) - \frac{n^\mu \epsilon^\nu + n^\nu \epsilon^\mu}{n \cdot q}$$

(669) と カレントの保存 $q_\mu J_{\lambda_1, \lambda_2}^\mu = 0$ により、右辺の余分な項は寄与しなくなります。

$$(672) \quad M_{\lambda_1}^{\lambda_2} = \frac{e}{q^2} \sum_{\lambda=\pm 1} J_{\lambda_1, \lambda_2}^\mu \cdot \epsilon_\mu(q, \lambda)^* \epsilon_\nu(q, \lambda) T^\nu(q, p) \\ = \frac{e}{q^2} \sum_{\lambda=\pm 1} J_{\lambda_1, \lambda_2} \cdot \epsilon_\lambda^* \hat{M}_\lambda$$

と書けるわけです。ここで \hat{M}_λ は

$$(673) \quad \gamma^* + a \rightarrow X$$

のハリエラー、振幅で

$$(674) \quad \hat{M}_\lambda(q, p, q^2) = \epsilon_\mu(q, \lambda) T^\mu(q, p)$$

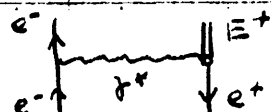
で定義されます。 $q^2=0$ のときは実光子の振幅です。

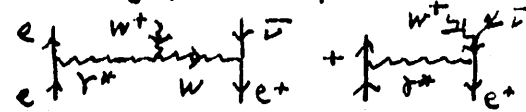
$$(675) \quad \hat{M}_\lambda(q, p, q^2) = \hat{M}_\lambda(q, p, 0) \left\{ 1 + O\left(\frac{q^2}{Q^2}\right) \right\}$$

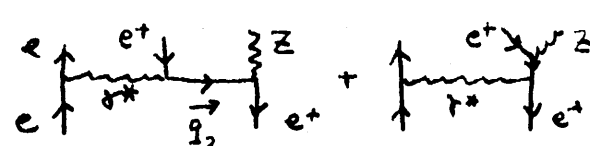
と書けるはずです。ここで Q^2 は、 $\gamma^* + a \rightarrow X$ 過程の振幅が、実光子の振幅より大きくされるスケールで、この過程の詳細に依存します。

例えば X が一粒子 ($\hat{s} = M^2$) であるならば、 $Q^2 = M^2$ ですし、 $a = e^+$ で

$X = e^+ \bar{\nu}_e$ であるならば、 $Q^2 = p_T^2(e^+)$ となります。

(676) $e^-e^+ \rightarrow e^-E^+$ (重 E^+)  $Q^2 \approx M^2 = m_{E^+}^2$

$e^-e^+ \rightarrow e^-W^+$  $Q^2 \approx m_W^2 - P_W^2$

$e^-e^+ \rightarrow e^-e^+Z$  $Q^2 \approx |12^2|$

つまり、 Q^2 は、 $\gamma^* + a \rightarrow X$ の局所的な (一点における) 相互作用と見なせるスケールで、 γ^* の波長が $\frac{1}{Q}$ 以上になる ($|12^2| > Q^2$) と、過程の非局所的構造が見えてきて、振幅が小さくなるわけです。

以後、(675) を

(677) $\hat{M}_\lambda (I.P, Q^2) = \hat{M}_\lambda (I.P, 0) \theta(Q^2 - |12^2|)$

と近似します。「実光子近似」と呼びます。この近似で全振幅 (672) を評価します。

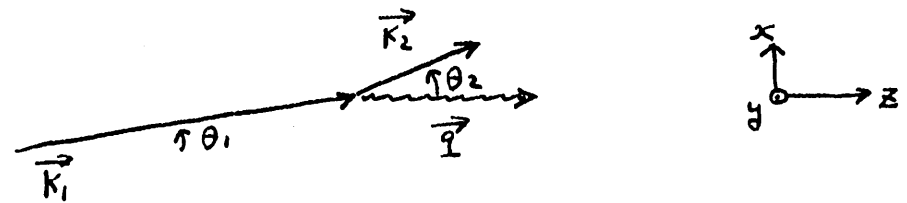
実際の計算は $\vec{q} = \vec{k}_1 - \vec{k}_2$ が正確になる系で行います。

(678) $k_1^\mu = E (1, \beta \sin\theta \cos\phi, \beta \sin\theta \sin\phi, \beta \cos\theta)$

$k_2^\mu = E' (1, \beta' \sin\theta' \cos\phi', \beta' \sin\theta' \sin\phi', \beta' \cos\theta')$

$q^\mu = k_1^\mu - k_2^\mu = (\nu, 0, 0, \sqrt{\nu^2 - q^2})$

$q^2 = (k_1 - k_2)^2 = 2m^2 - 2EE' (1 - \beta\beta' \cos(\theta - \theta'))$



この系で $\xi^\mu (1, \lambda = \pm) = \frac{1}{\sqrt{2}} (0, \mp 1, -i, 0)$ とおく。

$$(679) \quad m_{\lambda_1}^{\lambda_2 \lambda} \equiv J_{\lambda_1 \lambda_2}^\mu (k_1, k_2) \xi_\mu^* (1, \lambda) = U(k_2, \lambda_2) J_{\lambda_1 \lambda_2}^\mu (k_1, \lambda_1) \xi_\mu^* (1, \lambda)$$

とあくと $[J_{\lambda_1 \lambda_2}^\mu (k_1, k_2)$ の計算はくり返しませんけれど、簡単ですわ！]

$$(680a) \quad m_{+}^{++} = -m_{-}^{--*} = 2\sqrt{2EE'} \cos \frac{\theta}{2} \sin \frac{\theta'}{2} e^{-i\phi} \times \left\{ 1 + O\left(\frac{m^2}{E^2}\right) \right\}$$

$$(680b) \quad m_{+}^{+-} = -m_{-}^{-+*} = -2\sqrt{2EE'} \sin \frac{\theta}{2} \cos \frac{\theta'}{2} e^{i\phi} \times \left\{ 1 + O\left(\frac{m^2}{E^2}\right) \right\}$$

$$(680c) \quad m_{+}^{-+} = m_{-}^{+-} = \sqrt{2} m \left(\sqrt{\frac{E}{E'}} - \sqrt{\frac{E'}{E}} \right) \cos \frac{\theta}{2} \cos \frac{\theta'}{2} \times \left\{ 1 + O\left(\frac{m^2}{E^2}\right) \right\}$$

他の項は $m^2/E^2 \rightarrow 0$ 極限で新面積に寄与しません。(680c) から $m \rightarrow 0$ 極限で有限の寄与を与えることは既に述べたかと思えますが、くり返します。

ここで δ^* の energy $\nu = E x$ と置く

$$(681a) \quad E' = E - \nu = E(1-x)$$

$$\begin{aligned} (681b) \quad q_{min}^2 &= -q^2 \quad (\cos(\theta - \theta') = 1) \\ &= 2EE'(1 - \beta\beta') - 2m^2 \\ &= 2EE'(1 - \beta^2\beta'^2)/(1 + \beta\beta') - 2m^2 \\ &= 2E^2E'^2 [(1 - \beta^2) + (1 - \beta'^2) - (1 - \beta^2)(1 - \beta'^2)] / EE'(1 + \beta\beta') - 2m^2 \\ &= 2m^2 \left\{ [E^2 + E'^2 - m^2] / EE'(1 + \beta\beta') - 1 \right\} \\ &= m^2 (E - E')^2 / EE' \times [1 + O(m^2/E^2)] \\ &= m^2 x^2 / (1-x) \times [1 + O(m^2/E^2)] \end{aligned}$$

$$\begin{aligned} (681c) \quad q_{min}^2 - q^2 &= 2EE'\beta\beta' [1 - \cos(\theta - \theta')] \\ &\equiv \tilde{q}^2 = 4EE'\beta\beta' \sin^2 \frac{\theta - \theta'}{2} \\ &= 4EE'\beta\beta' \left[\sin \frac{\theta}{2} \cos \frac{\theta'}{2} - \sin \frac{\theta'}{2} \cos \frac{\theta}{2} \right]^2 \\ &\approx 4EE' \left[\sin \frac{\theta}{2} - \frac{E'}{E} \sin \frac{\theta}{2} \right]^2 = 4E^2 \frac{x^2}{1-x} \sin^2 \frac{\theta}{2} \\ &\approx 4EE' \left[\frac{E'}{E} \sin \frac{\theta'}{2} - \sin \frac{\theta'}{2} \right]^2 = 4E^2 x^2 (1-x) \sin^2 \frac{\theta'}{2} \end{aligned}$$

(681) を (680) に代入すると,

$$(682a) \quad m_+^{++} = -m_-^{--*} = \sqrt{2} \frac{1}{x} e^{-i\phi} \tilde{q} + O(\tilde{q}^2) \quad \tilde{q} = \sqrt{q_{min}^2 - q^2}$$

$$(682b) \quad m_+^{+-} = -m_-^{-+*} = -\sqrt{2} \frac{1-x}{x} e^{i\phi} \tilde{q} + O(\tilde{q}^2)$$

$$(682c) \quad m_+^{-+} = m_-^{+-} = \sqrt{2} \frac{x}{\sqrt{1-x}} m + O(m\tilde{q}^2)$$

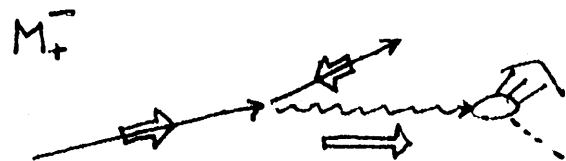
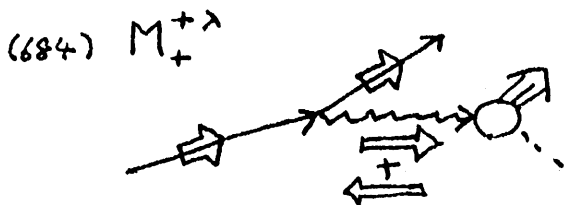
従って全振幅 (672) は

$$(683a) \quad M_+^+ = \frac{e}{q^2} [m_+^{++} \hat{M}_+ + m_+^{+-} \hat{M}_-] \\ = \sqrt{2} e \frac{\tilde{q}}{q^2} \left[\frac{1}{x} e^{-i\phi} \hat{M}_+ - \frac{1-x}{x} e^{i\phi} \hat{M}_- \right]$$

$$(683b) \quad M_-^- = \frac{e}{q^2} [m_-^{-+} \hat{M}_+ + m_-^{--} \hat{M}_-] \\ = \sqrt{2} e \frac{\tilde{q}}{q^2} \left[\frac{1-x}{x} e^{-i\phi} \hat{M}_+ - \frac{1}{x} e^{i\phi} \hat{M}_- \right]$$

$$(683c) \quad \begin{cases} M_+^- = \frac{e}{q^2} [m_+^{-+} \hat{M}_+ + O(m)] = \sqrt{2} e \frac{m}{q^2} \frac{x}{\sqrt{1-x}} \hat{M}_+ \\ M_-^+ = \frac{e}{q^2} [m_-^{+-} \hat{M}_- + O(m)] = \sqrt{2} e \frac{m}{q^2} \frac{x}{\sqrt{1-x}} \hat{M}_- \end{cases}$$

ここで $M_{\lambda_1}^{\lambda_2} = M_+^+ \text{ と } M_-^-$ は電子のスピンのみが保存するため、 $m \rightarrow 0$ で有限、 \tilde{q} のスピンのみは $\lambda = \pm$ 共に存在し、 $M_+^- \text{ と } M_-^+$ は電子のスピンのみが壊れるため振幅が m に比例し、 $\lambda = \lambda_1$ (光子のスピンのみ) が入射電子のスピンのみと一致する場合にだけ、有限の断面積を与えます。次回参照。



$\theta = 0$ でスピンは保存しない!

$\theta = 0$ でスピンが保存する。

断面積を計算するために、終電子の phase space を

$$\begin{aligned}
 (685) \quad \frac{d^3k_2}{(2\pi)^3 2E_2} &= \frac{1}{16\pi^3} \frac{k'^2 dk'}{E'} d\cos\theta' d\phi' \\
 &= \frac{1}{16\pi^3} k' dE' d\cos(\theta' - \theta) d\phi && k' dk' = E' dE' \\
 &\approx \frac{1}{16\pi^3} k' dE' \frac{d\mathcal{E}^2}{2EE'} d\phi && (678) \\
 &\approx \frac{1}{16\pi^2} dx d\mathcal{E}^2 \frac{d\phi}{2\pi} && \frac{dE'}{E} = d(1-x) = dx
 \end{aligned}$$

とし、 $\gamma^* + a \rightarrow X$ 過程の密度行列

$$(686) \quad \rho_{\lambda\lambda'} \equiv \frac{1}{2s} \cdot \frac{1}{2} \cdot \bar{\sum}_{\lambda_a, \lambda_X} \int M_{\lambda} M_{\lambda'}^* d\Phi_X = (\rho_{\lambda'\lambda})^*$$

を定義します。 $\hat{s} = (p+q)^2 = s$ とし、 $\bar{\sum}_{\lambda_a, \lambda_X}$ は a についてはスピン平均、 X についてはスピン和をとります。 ρ のトレース ($\rho_{++} + \rho_{--}$) は通常のスピン平均断面積です。 ρ の各成分の測定か、 $\gamma^* + a \rightarrow X$ 過程の、スピル、パリティ、CP 特性の決定のために重要なりで全成分 ρ 子表式を求めます。

λ 射電子は 100% 偏極 ($\lambda_1 = +$ か $-$)、終電子の偏極は観測しない ($\lambda_2 = +$ と $-$ を加える) 場合だけを考えます。

$$\begin{aligned}
 (687) \quad d\sigma_{\lambda_1} &= \frac{1}{2s} \left\{ |M_{\lambda_1}^{\lambda_1}|^2 + |M_{\lambda_1}^{-\lambda_1}|^2 \right\} \frac{d^3k'}{(2\pi)^3 2E'} \cdot d\Phi_X \\
 &= \frac{1}{2s} \left(\frac{e}{q^2} \right)^2 \left\{ |m_{\lambda_1}^{\lambda_1} + \hat{A}_+ + m_{\lambda_1}^{\lambda_1} - \hat{A}_-|^2 + |m_{\lambda_1}^{-\lambda_1} + \hat{A}_+ + m_{\lambda_1}^{-\lambda_1} - \hat{A}_-|^2 \right\} \frac{d^3k'}{(2\pi)^3 2E'} \cdot d\Phi_X \\
 &= \frac{\alpha}{2\pi} \cdot \frac{1}{2s} \cdot \frac{1}{2} \left\{ |m_{\lambda_1}^{\lambda_1} + \hat{A}_+ + m_{\lambda_1}^{\lambda_1} - \hat{A}_-|^2 + |m_{\lambda_1}^{-\lambda_1} + \hat{A}_+ + m_{\lambda_1}^{-\lambda_1} - \hat{A}_-|^2 \right\} d\Phi_X \cdot x dx \cdot \frac{d\mathcal{E}^2}{(q^2)^2} \cdot \frac{d\phi}{2\pi}
 \end{aligned}$$

$$(688a) \ d\sigma_+ = \frac{\alpha}{2\pi} \cdot \frac{1}{2s} \cdot \frac{1}{2} \left\{ 2\hat{q}^2 \left| \frac{1}{x} e^{-i\phi} \hat{A}_+ - \frac{1-x}{x} e^{i\phi} \hat{A}_- \right|^2 + 2m^2 \frac{x^2}{1-x} |\hat{M}_+|^2 \right\} d\hat{Q}_x \cdot x dx \cdot \frac{d\hat{q}^2}{(\hat{q}^2)^2} \cdot \frac{d\phi}{2\pi}$$

$$= \frac{\alpha}{2\pi} \cdot \frac{1}{2s} \cdot \frac{1}{2} \left\{ 2\hat{q}^2 \left[\frac{1}{x^2} |\hat{A}_+|^2 + \left(\frac{1-x}{x}\right)^2 |\hat{A}_-|^2 - 2 \frac{1-x}{x^2} \operatorname{Re}(e^{-2i\phi} \hat{A}_+ \hat{A}_-^*) \right] \right.$$

$$\left. + 2m^2 \frac{x^2}{1-x} |\hat{M}_+|^2 \right\} d\hat{Q}_x \cdot x dx \cdot \frac{d\hat{q}^2}{(\hat{q}^2)^2} \cdot \frac{d\phi}{2\pi}$$

$\underbrace{\hspace{2em}}_{= \hat{q}^2 \text{ min. (681b)}}$

$$= \frac{\alpha}{\pi} \left\{ \frac{\hat{q}^2}{|\hat{q}^2|^2} \left[\frac{1}{x} P_{++} + \frac{(1-x)^2}{x} P_{--} - \frac{1-x}{x} \operatorname{Re}(2e^{-2i\phi} P_{+-}) \right] \right.$$

$$\left. + \frac{\hat{q}^2 \text{ min.}}{|\hat{q}^2|^2} x P_{++} \right\} dx \, d|\hat{q}^2| \, \frac{d\phi}{2\pi}$$

$$(688b) \ d\sigma_- = \frac{\alpha}{\pi} \left\{ \frac{\hat{q}^2}{|\hat{q}^2|^2} \left[\frac{(1-x)^2}{x} P_{++} + \frac{1}{x} P_{--} - \frac{1-x}{x} \operatorname{Re}(2e^{-2i\phi} P_{+-}) \right] \right.$$

$$\left. + \frac{\hat{q}^2 \text{ min.}}{|\hat{q}^2|^2} x P_{--} \right\} dx \, d|\hat{q}^2| \, \frac{d\phi}{2\pi}$$

従、 τ 非偏極電子 e^- の断面積は

$$(688c) \ d\sigma = \frac{1}{2} (d\sigma_+ + d\sigma_-)$$

$$= \frac{\alpha}{2\pi} \left\{ \left[\frac{1+(1-x)^2}{x} (P_{++} + P_{--}) - 2 \frac{1-x}{x} \operatorname{Re}(2e^{-2i\phi} P_{+-}) \right] \frac{\hat{q}^2}{|\hat{q}^2|^2} \right.$$

$$\left. + x (P_{++} + P_{--}) \frac{\hat{q}^2 \text{ min.}}{|\hat{q}^2|^2} \right\} dx \, \frac{d\phi}{2\pi} \, d|\hat{q}^2|$$

$$= \frac{\alpha}{2\pi} \left\{ \left[\frac{1+(1-x)^2}{x} \right] \left[\ln \frac{Q^2}{\hat{q}^2 \text{ min.}} - 1 \right] + x \right\} (P_{++} + P_{--}) dx$$

$$\equiv D_{\gamma/e}^{WW}(x, Q^2) \cdot \hat{\sigma}(\hat{s} = sx) \cdot dx$$

$$\begin{aligned}
 (689) \quad & \int_{q^2_{min}}^{Q^2} \frac{q^2}{|q^2|^2} d|q^2| = \int_{q^2_{min}}^{Q^2} \frac{|q^2| - q^2_{min}}{|q^2|^2} d|q^2| \\
 & = \log \frac{Q^2}{q^2_{min}} - 1 \\
 & \int_{q^2_{min}}^{Q^2} \frac{q^2_{min}}{|q^2|^2} d|q^2| = q^2_{min} \left[-\frac{1}{|q^2|} \right]_{q^2_{min}}^{Q^2} = 1 - \frac{q^2_{min}}{Q^2} \approx 1
 \end{aligned}$$

を用いました。

$$(690) \quad D_{0/e}^{ww}(x, Q^2) = \frac{x}{2\pi} \left[\frac{1+(1-x)^2}{x} \left[\ln \frac{Q^2}{q^2_{min}} - 1 \right] + x \right]$$

を Weisäcker-Williams の等価光子の分布と呼びます。

(688c) 式の表式が、ボتون模型の表式と同型になることに

注目してください。